

# О возможностях использования групповых пуассоновских потоков в имитационном моделировании

Б.Я. Лихтциндер  
Поволжский университет  
телекоммуникаций и информатики,  
Самара, Россия  
lixt@psu.ru

В. И. Моисеев  
Пермский государственный  
национальный исследовательский  
университет,  
Пермь, Россия.  
vim@psu.ru

А.Ю. Привалов  
Самарский национальный  
исследовательский университет  
им. академика С.П. Королева  
Самара, Россия  
privalov1967@gmail.com

**Аннотация —** Рассматривается применение групповых пуассоновских потоков для моделирования очередей, образуемых реальным видеотрафиком при передаче в сети связи. Изучается возможность использования таких потоков для получения очередей со средним и дисперсией, близкими к очередям, образуемым реальным трафиком. Показано, что подбором параметров группового пуассоновского потока можно гораздо лучше приблизить эти характеристики, чем с помощью обычного пуассоновского потока.

**Ключевые слова —** групповые пуассоновские потоки, системы массового обслуживания, вторые моменты, коэффициент загрузки, очереди.

## I. ВВЕДЕНИЕ

Как было отмечено в [1] (см. также [4,6]), одной из популярных моделей пакетного трафика, сочетающего в себе простоту анализа, свойственную классическим Пуассоновским моделям и возможность учёта пачечного характера современного пакетного трафика являются неординарные потоки Пуассона. Они являются альтернативой моделям, учитывающим фрактальные свойства потоков, которые, ввиду весьма высокой сложности, нашли ограниченное применение на практике. Этапы развития указанных моделей представлены в обзоре [2], а самые популярные их виды рассмотрены в [3, 8-11]. В [12] приведён обзор перспективных методов, использующих машинное обучение, обладающих лучшей точностью, но требующих вычислительных затрат, несравнимых с рассматриваемым в докладе методом.

В работе [1] с помощью интервального метода (см. [5-7]) были получены аналитические выражения для зависимостей средней очереди и дисперсии очереди в одноканальной системе массового обслуживания (СМО) с входным потоком, являющимся пуассоновским групповым потоком, от загрузки системы. В предлагаемой работе мы будем использовать эти результаты для приближения данных зависимостей к аналогичным зависимостям, полученным для реального видеотрафика, путём подбора параметров потока. При таком подходе удается приблизить эти характеристики к характеристикам реальной очереди гораздо лучше, чем это получается для обычного (ординарного) пуассоновского потока, что имеет большое значение при использовании таких потоков в системах имитационного моделирования.

## II. АНАЛИТИЧЕСКИЕ РЕЗУЛЬТАТЫ ДЛЯ ГРУППОВОГО ПУАССОНОВСКОГО ПОТОКА

Рассматривается групповой пуассоновский поток с интенсивностью  $\lambda$ , в котором вместо одиночных заявок прибывают пачки одинаковых заявок по  $B$  штук в каждой, где  $B$  – константа, параметр оптимизации. Это входной поток для СМО G/D/1 с дисциплиной обслуживания FCFS и временем обслуживания  $\tau$ .

Пусть  $A(\tau)$  – случайная величина, равная количеству пришедших заявок на интервале  $\tau$ . Из результатов [1] нетрудно получить, что  $M(A(\tau))=\lambda\tau B=\rho$ ,  $D(A(\tau))=\lambda\tau B^2=\rho B$ ,  $\mu_3(A(\tau))=\lambda\tau B^3=\rho B^2$ . Также в [1] с использованием интервального метода анализа показано, что для случайной величины  $Q$ , равной очереди в системе в стационарном режиме в случайный момент времени

$$M(Q)=D(A(\tau))/(2(1-\rho))-\rho/2 \quad (1)$$

$$\begin{aligned} D(Q) = & (D(A(\tau))-\rho(1-\rho))(D(A(\tau))+2-3\rho+\rho^2)/(4(1-\rho)^2) + \\ & + (\rho^3+3D(A(\tau))\rho-3D(A(\tau))-3\rho^2+2\rho)/(3(1-\rho)) + \\ & + \mu_3(A(\tau))/(3(1-\rho)) \end{aligned} \quad (2)$$

При  $B=1$  это даёт формулы для обычного (ординарного) пуассоновского пока:

$$M(Q)=\rho^2/(2(1-\rho)), \quad D(Q)=(1-\rho/3-\rho^2/6)\rho^2/(2(1-\rho)^2). \quad (3)$$

## III. АППРОКСИМАЦИЯ ОЧЕРЕДЕЙ РЕАЛЬНОГО ВИДЕОТРАФИКА

В качестве реального трафика в данной работе использовался трафик от видеокодека стандарта H264-1000. Файл трассы трафика с временами прибытия и величиной пакетов (в битах) использовался как источник входного потока в системе имитационного моделирования. Этот входной поток поступал в систему массового обслуживания с одним прибором. При этом скорость обслуживания выбиралась таким образом, чтобы обеспечить заданную загрузку прибора  $\rho$ . Размер образующейся очереди измерялся в пакетах, имеющих средний размер (усреднение проводилось по всей трассе). Для ряда значений  $\rho$  в диапазоне от 0.05 до 0.9 в результате имитационного эксперимента определялась величина средней по реализации очереди  $M(Q^*(\rho_i))$ ,  $i=1,\dots,N_m$  и дисперсия очереди  $D(Q^*(\rho_j))$ ,  $j=1,\dots,N_d$ .

Для тех же значений  $\rho$  рассчитывались по формуле (1) значения  $M(Q(\rho_i))$ ,  $i=1,\dots,N_m$  и по формуле (2)  $D(Q(\rho_j))$ ,  $j=1,\dots,N_d$ . Для метода наименьших квадратов использовалась целевая функция от параметра  $B$

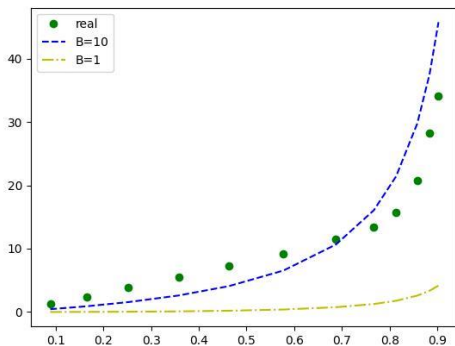


Рис. 1. Зависимость средней очереди от загрузки прибора

$$J(B) = \sum_i (M(Q^*(\rho_i)) - M(Q(\rho_i)))^2 + \sum_j (D(Q^*(\rho_j)) - D(Q(\rho_j)))^2 \quad (4)$$

где суммирование в каждой из сумм производится по всем  $i$  и  $j$  соответственно. Она численно минимизировалась по  $B$  при условии сохранения заданного  $\rho$  (то есть, при изменении  $B$  соответствующим образом изменялось  $\lambda$ ).

Результаты проведённых расчётов приведены на рис. 1 и 2. Графики формул (1) и (2) изображены для целого  $B$ , наиболее близкого к аргументу минимума (4). Там же для сравнения изображены графики зависимостей от  $\rho$  средней очереди и дисперсии очереди соответственно, для ординарного пуассоновского потока, т.е. для  $B=1$  (формулы (3)).

Очевидно, что при пуассоновском потоке с групповым прибытием можно приблизить зависимости средней очереди и дисперсии очереди гораздо лучше, чем ординарным пуассоновским потоком, однако отличия все-таки заметны.

Подобные результаты были получены и для трафиков других видеокодеков семейства H264.

Кроме этого, мы проводили аналогичные вычислительные эксперименты в случае, когда размер пачки в групповом пуассоновском потоке не постоянен, а может принимать с некоторой вероятностью два различных значения. Параметрами оптимизации в этом случае были размеры пачек и их вероятности. Но это не привело к заметному улучшению результата.

#### IV.ЗАКЛЮЧЕНИЕ

Представлен метод аппроксимации средней очереди и дисперсии очереди в СМО для реального трафика при произвольных коэффициентах загрузки пуассоновским потоком с групповым прибытием. В сравнении с ординарным пуассоновским потоком, предложенная аппроксимация гораздо лучше.

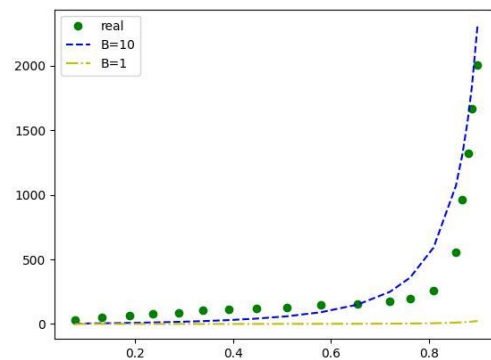


Рис. 2. Зависимость дисперсии очереди от загрузки прибора

#### ЛИТЕРАТУРА

- [1] Лихтциндер, Б.Я. Вторые моменты очередей в системах массового обслуживания с групповыми пуассоновскими потоками / Б.Я. Лихтциндер, В.И. Моисеев, А.Ю. Привалов // Информационные технологии и нанотехнологии (ИТНТ). Сборник трудов по материалам IX Международной конференции и молодёжной школы, Самара: 2023. – С. 050192
- [2] Вишневский, В.М. Системы массового обслуживания с коррелированными входными потоками и их применение для моделирования телекоммуникационных сетей / В.М. Вишневский, А.Н. Дудин //Автоматика и телемеханика. – 2017. – Т. 8. – С. 3–59.
- [3] Neuts, M.F. Versatile Markovian point process // Journal of Applied Probability. – 1979. – Vol. 16(4). – P. 764-779. DOI: <https://doi.org/10.2307/3213143>.
- [4] Дудин, А.Н. Системы массового обслуживания с коррелированными потоками. / А.Н. Дудин, В.И. Клименок – Минск: БГУ, 2000. – 175 с.
- [5] Лихтциндер, Б.Я. Трафик мультисервисных сетей доступа (интервальный анализ и проектирование) / Б.Я. Лихтциндер – М.: Горячая линия - Телеком, 2018. – 290 с.
- [6] Likhtsinder, B.Ya. Models of group Poisson flows in telecommunications traffic control. / B.Ya. Likhtsinder, Yu.O. Bakay // Вестник Самарского государственного технического университета. Серия: Технические науки, – 2020. – Т. 28, № 3, – С. 75-89.
- [7] Likhtsinder, B. Ya. Queue Analysis for Video Traffic Using the Generalized Interval Method. / B. Ya. Likhtsinder, E.V. Kitaeva, A. Yu. Privalov // 2022 VIII International Conference on Information Technology and Nanotechnology (ITNT), – IEEE Xplore. — 2022. Vol. 4.
- [8] Ramaswami, V. The N/G/1 queue and its detailed analysis // Advances in Applied Probability. – 1980. – Vol. 12(1). – P. 222–261. DOI: <https://doi.org/10.2307/1426503>.
- [9] Lakatos, L. Introduction to Queueing Systems with Telecommunication Applications./ L. Lakatos, L. Szeidl, M. Telek – Springer Science+Business Media, 2013. – 388 p. DOI: <https://doi.org/10.1007/978-1-4614-5317-8>.
- [10] Singh, G. Detailed computational analysis of queueingtime distributions of the BM/G/1 queue using roots / G. Singh, U.C. Gupta, M.L. Chaudhry // J. Appl. Probab. – 2016. – Vol. 53. – P. 1078–1097.
- [11] Dudin, A.N. Queue with group admission of customers / A.N. Dudin, R. Pispolo, R. Manzo // Comput. Oper. Res. – 2015. – Vol. 61. – P. 89–90.
- [12] Vishnevsky, V. Application of Machine Learning Methods to Solving Problems of Queueing Theory / V. Vishnevsky, A.V. Gorbunova, A. Dudin, A. Nazarov, A. Moiseev // Information Technologies and Mathematical Modelling. Queueing Theory and Applications. – 2022. – Vol. 1605. – P. 304-316. [https://doi.org/10.1007/978-3-031-09331-9\\_24](https://doi.org/10.1007/978-3-031-09331-9_24)